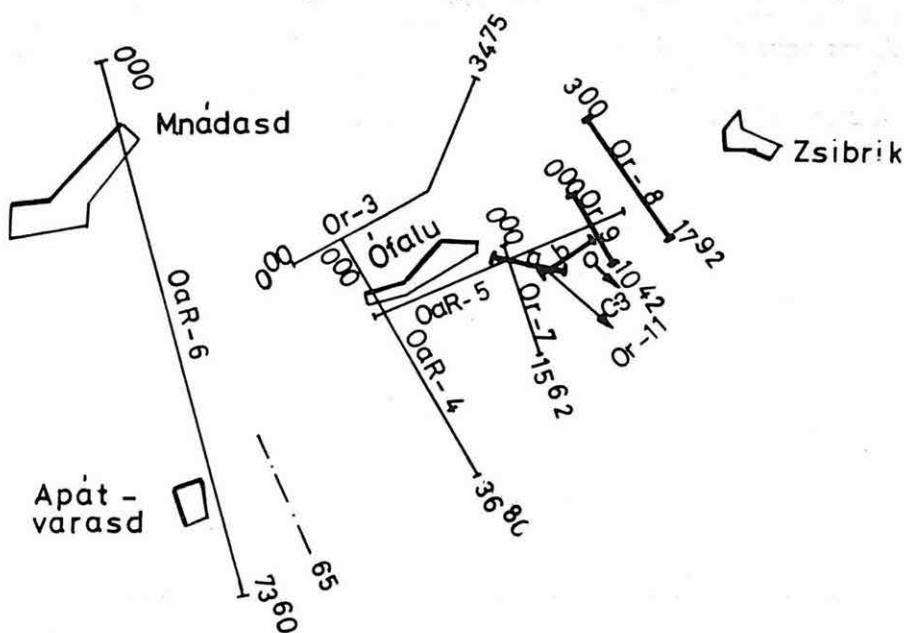


## 1.6 A MECSEK HEGYSÉG SZERKEZETI ELEMEINEK GEOFIZIKAI KUTATÁSA\*

Mecseknádasd—Ófalu—Zsibrik—Apátvarasd körzetében 1980-ban folytattuk az alsó liász feketekőszén-összlet elterjedésének vizsgálatát (34. ábra). A méréseket a MÁFI megbízásából végeztük. A szelvénymenti földmágneses



34. ábra. A mecseki geofizikai mérések helyszínrajza  
OaR — refrakciós szelvény; Or — reflexiós szelvény; 65 — földmágneses szelvény

Fig. 34. Location map of geophysical measurements in the Mecsek Mountains  
OaR — refraction profile; Or — reflection profile; 65 — geomagnetic profile

Рис. 34. План местности геофизической съемки в районе гор Мечек  
OaR — профиль КМПВ; Or — профиль МОВ; 65 — профиль магнитометрических наблюдений

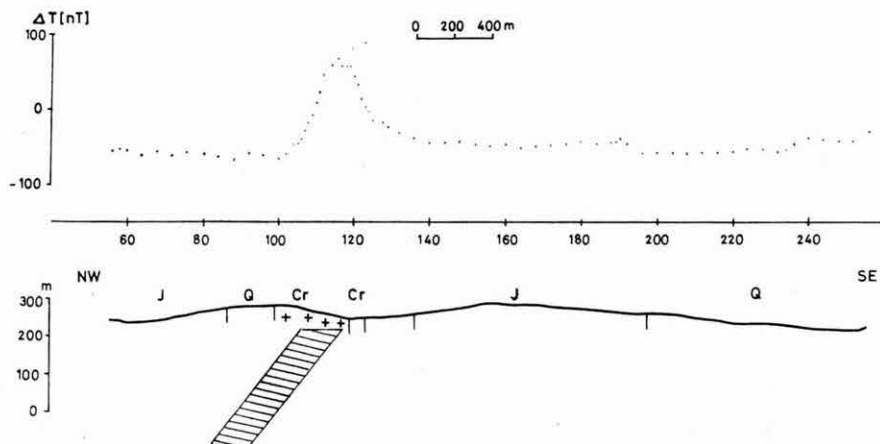
\* Braun L., Ráner G., Zalai P.

$\Delta T$  és a szeizmikus mérések feladata az előfordulás települési és szerkezeti viszonyainak megismerése, a prognózist megalapozó földtani kutatás előkészítése volt. A mérések a VI. ötéves tervben folytatódnak, az 1980. évi eredmények így főleg lehetőségeinket szemléltetik.

A Máza D—Váralja D-i feketekőszén kutatási területen slalom-line méréseket végeztünk. Eredményeinkről a vibroszeiz módszertani téma (61. old.) számol be.

A szelvénymenti földmágneses mérésekkel meghatároztuk a hatók mélységét és dőlését. A vulkanitok felszíni elterjedése és a számított hatók jó egyezést mutatnak, így a terület földtani térképezésénél jól felhasználhatók. A hatók mélysége 10—50 m, szélessége 30—120 m között változik. A hatószámításokra példaként a 65. szelvényt mutatjuk be (35. ábra).

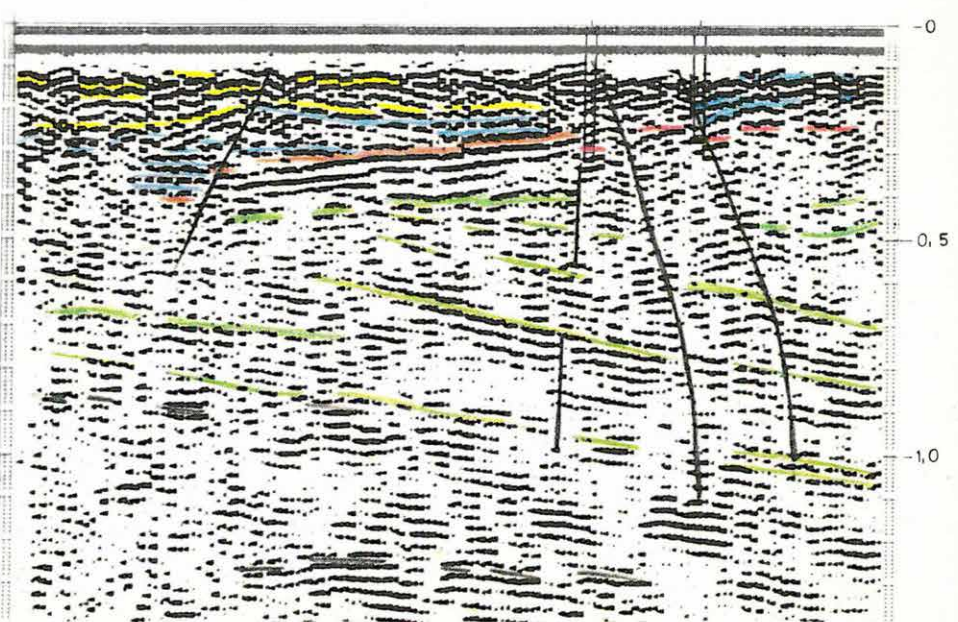
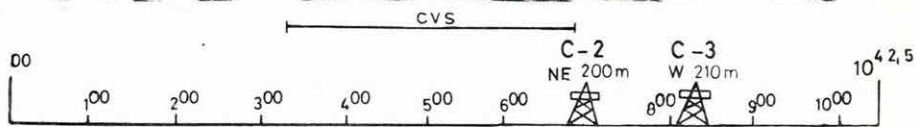
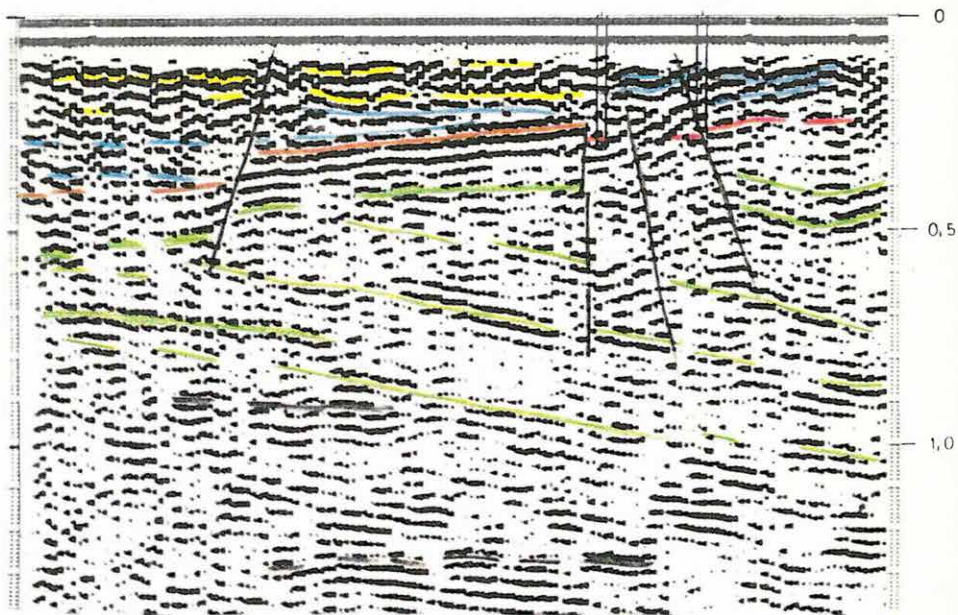
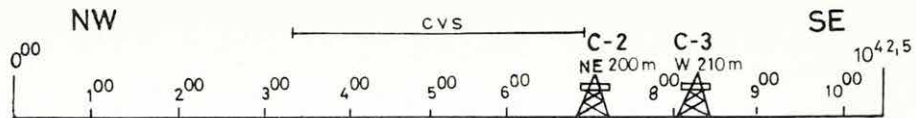
Az Ófalutól K-re eső területre reflexiós méréseket végeztünk, eredményeit az Or—9/80 és az Or—11/b/80 időszelvényen mutatjuk be (36., 37. ábra). A szelvényeken határozott vezérszintként jelentkezik a jura képződmények triász vagy annál idősebb képződményekből álló fekéje (piros színnel jelölve). Viszonylag jó beérkezéseket kaptunk a jura összletből is (kék jelölés).



35. ábra. A 65. sz. földmágneses szelvény a számított mágneses hatóval

Fig. 35. Geomagnetic profile No 65 with the computed anomalous body

Рис. 35. Геомагнитный профиль № 65 с подсчитанным магнитным возмущающим телом

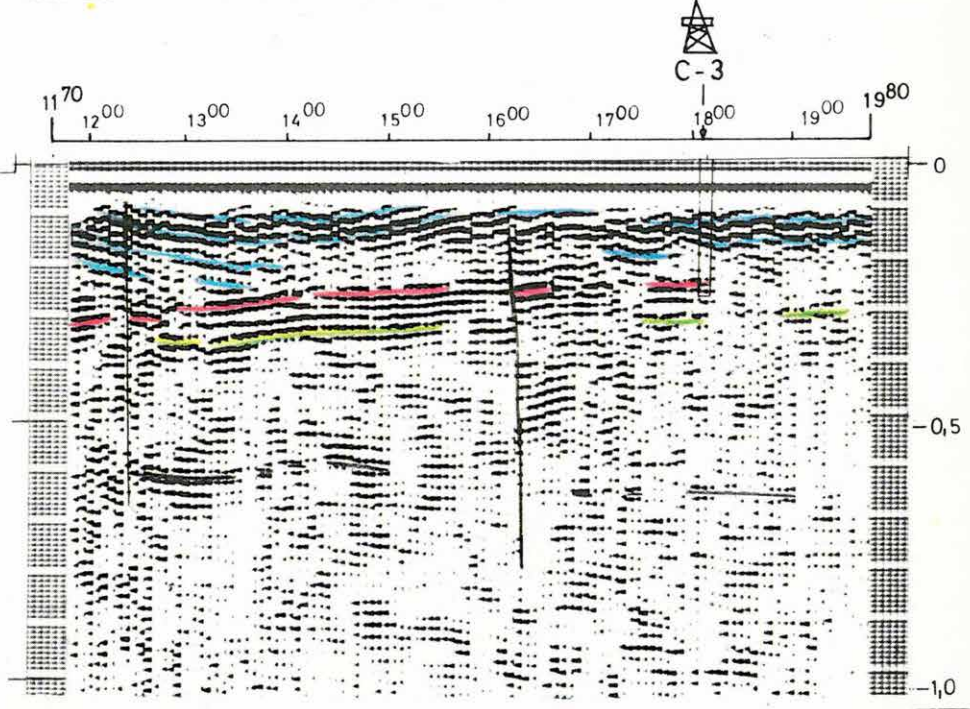
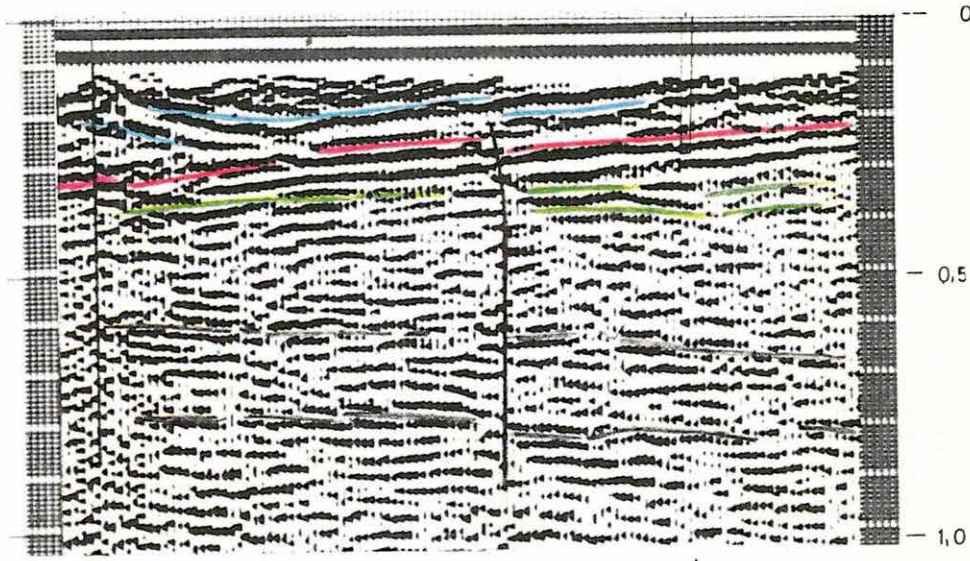
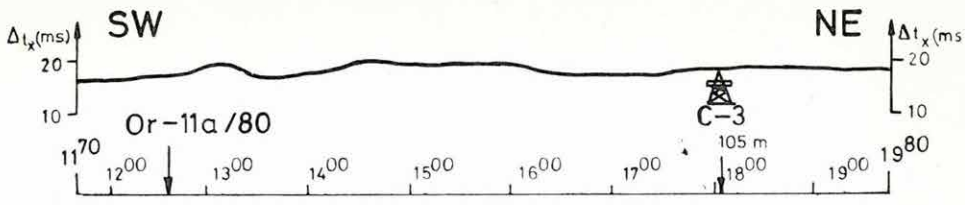


36. ábra. Or—9/80 időszelvény  
Szűrés: 20—40 Hz; 30—60 Hz

Fig. 36. Or—9/80 reflection time section  
Filter: 20—40 Hz, 30—60 Hz

Рис. 36. Временной разрез Or—9/80  
Фильтрация: 20—40 Гц, 30—60 Гц





37. ábra. Or—11/b/80 időszelvény  
Szűrés: 20—74 Hz; 40—80 Hz

Fig. 37. Or—11/b/80 reflection time section  
Filter: 20—74 Hz, 40—80 Hz

Рис. 37. Временной разрез Or—11/b/80  
Фильтрация: 20—74 Гц, 40—80 Гц

Az Or—11/b közel csapásirányú szelvény felső szintjei jól mutatják a jura összlet erősen gyúrt szerkezetét. Ezek a képződmények diszkordánsan települnek a 0,20—0,35 s között látható aljzatra. A 16<sup>00</sup> pontnál jól észlelhető az aljzattal elvető mozgási sík. Figyelemreméltók a mélyebb, a felsőbb szintekhez viszonyítva ellentétesen dőlő felületelemek.

A dőlésmenti Or—9 szelvényen hasonló szeizmikus kép rajzolódik ki. A szelvény É-i részén a miocén képződmények is megjelennek (sárga színnel jelölve). A C—2, C—3 fúrás szerint a paleozoos (ópaleozoos?) aljzattal a mozgási síkok több szerkezeti egységre tagolják. A 7<sup>00</sup>—9<sup>00</sup> pont közötti szelvényszakaszon több törésből álló tektonikus sáv van.

